

24-53

АКАДЕМИЯ НАУК СОЮЗА ССР
ГОСУДАРСТВЕННЫЙ КОМИТЕТ СОВЕТА МИНИСТРОВ СССР
ПО ИСПОЛЬЗОВАНИЮ АТОМНОЙ ЭНЕРГИИ

БИБЛИОТЕКА

Атомная Энергия

ЧЧЧЧЧ

РЕДАКЦИОННАЯ КОЛЛЕГИЯ:

А. И. АЛИХАНОВ, А. А. БОЧВАР, А. П. ВИНОГРАДОВ,
Н. А. ВЛАСОВ (зам. главного редактора), И. Н. ГОЛОВИН,
Н. А. ДОЛЛЕЖАЛЬ, А. П. ЗЕФИРОВ, В. Ф. КАЛИНИН,
Н. Ф. КВАРЦХАВА, И. А. КОЛОКОЛЬЦОВ (зам. главного редактора),
А. Б. КРАСИН, А. В. ЛЕВЕДИНСКИЙ, А. И. ЛЕЧИЦУСКИЙ,
Ч. Г. МЕЩЕРЯКОВ, М. Д. МИЛЛИОНИЦКОВ (главный редактор),
И. И. НОВИКОВ, В. С. ФУРСОВ, В. В. ШЕНЧЕНКО,
Н. О. ЭРГИНС, М. Н. ЯКУТОВИЧ

ЯНВАРЬ
— ТОМ 14 1963 ВЫП. 1 —

РЕПОЗИТОРИЙ ГГУ им. М.В.Ломоносова



ЭЛЕКТРОКИНЕТИЧЕСКИЕ ЭФФЕКТЫ В ЖИДКОЙ РТУТИ

A. P. Регель, С. И. Патягин

ВВЕДЕНИЕ

В последнее время уделяется много внимания электрическим свойствам образцов малого сечения, главным образом пленок. В работах [1—7] показано, что при попечных размерах образца, сравнимых с длиной свободного пробега носителей тока, наблюдаются аномальные величины проводимости, эффекта Холла и другие явления.

По гипотезе Томсона — Фукса это объясняется тем, что только доля носителей ϵ упруго отражается от внутренней поверхности образца, остальная часть носителей $(1 - \epsilon)$ претерпевает на границе неупругое (диффузное) рассеяние. Вследствие этого в тонком граничном слое (толщиной $\sim 3\lambda$) длина свободного пробега и концентрация носителей тока будут меньше, чем в объеме образца.

В работах [8] показано, что в жидкых проводниках с малым сечением (капиллярах с жидким металлом) при $(1 - \epsilon) \neq 0$ будут наблюдаться электрокинетические эффекты. Например, пропускание тока через капилляр вызывает электроосмотическое давление

$$p_A = 0,8(1 - \epsilon)eV \left(\frac{v}{E} \right). \quad (1)$$

И, наоборот, перетекание жидкого металла через капилляр под давлением p сопровождается возникновением разности потенциалов V на концах капилляра (потенциала перепора):

$$V_p = -0,4(1 - \epsilon) \frac{e\lambda^2}{\sigma n} p, \quad (2)$$

где e — заряд электрона; n и λ — соответственно концентрация и длина свободного

пробега носителей тока; σ — проводимость жидкого металла; r_p — радиус рабочего капилляра.

Величина и направление электрокинетических эффектов не зависит от типа проводимости металла.

В предлагаемой работе изложены методика и результаты исследований электрокинетических эффектов в ртути при комнатных температурах.

МЕТОДИКА ЭКСПЕРИМЕНТА

Исследование проводилось двумя путями: измерением электрокинетической подвижности α уровня ртути на приборе типа А (рис. 1) и измерением разности уровней на приборе типа Б при пропускании тока через рабочий капилляр.

Клемм [9] нашел для ртути электрокинетическую подвижность $\alpha = \frac{v}{E} = 2,5 \times 10^{-3}$ см²/в·сек на диафрагме в виде капилляра диаметром 1,5 мм, заполненного стеклянными шариками диаметрами $\sim 0,1$ мм (v — скорость перемещения ртути под действием потенциала E).

Следует заметить, что в данном случае величины электрокинетических эффектов не поддаются строгому расчету из-за неопределенности геометрической формы сечения проводника. Поэтому нами были проделаны опыты на цилиндрических капиллярах ($r_p = (5 \div 20) \cdot 10^{-3}$ см) с целью проверки справедливости теории эффектов, данной в приближении теории свободных электронов [8].

Определение величины $(1 - \epsilon)$ из подвижности уровня. В откаченный до $\sim 10^{-3}$ мм

рт. ст. и просушенный при 150–200° С капилляр 10 (см. рис. 1) из колбы I в положении II наливалась ртуть двукратной дистillation так, чтобы уровни ртути располагались примерно на середине горизонтальных участков а и б измерительных капилляров.

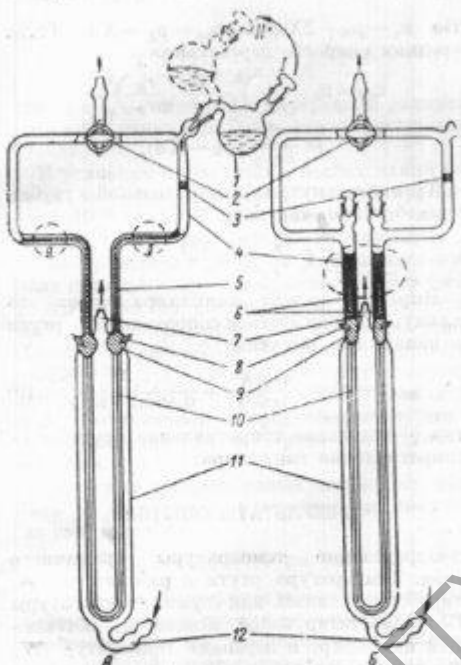


Рис. 1. Схема приборов

A—прибор для измерения электрокинетической подвижности; B—прибор для измерения подвижности уровней; 1—колба с жидким металлом; 2—изменение краны; 3—стеклянные фильтры; 4—измерительные трубки с жидкостью, смачивающей поверхность стекла; 5—ртуть; 6—измерительный капилляр; 7—изменение; 8—выходной и входной патрубок для термостатированной жидкости; 9—теплоподводящие электроды; 10—полиэлектродные объемы ртути; 11—рабочий напор; 12—подъем рубашки.

ров. Положение уровней фиксировалось отсчетными микроскопами с ценой деления $(1,35 \pm 2) \cdot 10^{-3}$ см/дел.

Поскольку прибор А очень чувствителен к изменениям температуры (смещение уровней ~ 400 дел/град), приходилось весьма тщательно его термостатировать, помещая в дьюар и термоизолируя все его части, за исключением небольших участков в области

уровней а и б. Кроме того, для уменьшения влияния эффекта Пельтье брали платиновые электроды (этот эффект на контакте ртуть—платина мал), которые помещали в значительном объеме ртути, что способствовало сильному рассеянию тепла; температура электродов измерялась железо-константановыми термонарами с точностью до $\sim 2 \cdot 10^{-3}$ °С.

Скорость перемещения уровней при заданном V измерялась (рис. 2) после достижения прибором температурного равновесия (точки \times : при 90 мин включен ток, при 100 мин изменено направление тока; длина капилляра $L = 12$ см; $r_p = 5 \cdot 10^{-3}$ см).

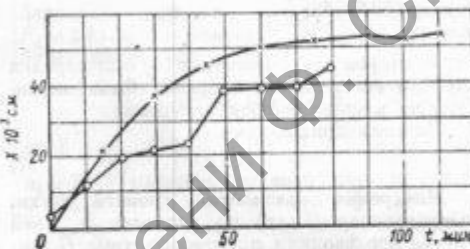


Рис. 2. Скорости перемещения уровней.

$V = 0,18$ в) или после изменения скоростей уровней на прямолинейном участке теплового расширения при изменении направления тока через 10–20 мин (точки \circ : $L = 16$ см; $r_p = 88 \cdot 10^{-3}$ см; $V = 0,36$ в). Скорость перемещения уровней была порядка $10^{-6} \div 10^{-8}$ см/сек. Меньший наклон участка ломаной соответствует положительному потенциалу на электроде около этого уровня. Кривые получены на разных приборах.

Подвижность уровня определялась по формуле

$$\alpha_u = \frac{v_u}{E} \left(\frac{r_u}{r_p} \right)^2 = \frac{L_p}{V} \left(\frac{r_u}{r_p} \right)^2 v_u, \quad (3)$$

где v_u —наблюдаемая скорость движения; r_u —радиус измерительного капилляра; L_p —длина рабочего капилляра.

Учет трения при движении ртути в измерительном капилляре приводит к соотношению:

$$v_u = \frac{Q}{S_u} = \frac{\pi r_p^2}{8\eta L S_u} \left(p_E - \frac{F}{S_u} \right), \quad (4)$$

где η — вязкость ртути; Q — объем ртути; S — сечение капилляра; F — сила трения в измерительном капилляре, равная

$$F = 2\pi\eta L_p v_B.$$

Тогда наблюдаемая подвижность уровня

$$a_B = a - \frac{1}{4} \frac{L_p}{L_p} \left(\frac{r_p}{r_B} \right)^2 \frac{L_p}{V} v_B. \quad (5)$$

Учитывая формулу (3), получим

$$a = a_B \left[1 + \frac{1}{4} \frac{L_p}{L_p} \left(\frac{r_p}{r_B} \right)^4 \right]. \quad (6)$$

В приборе *A* обычно осуществлялись соотношения:

$$L_B \approx L_p, \quad \frac{r_p}{r_B} \approx 10^{-1},$$

т. е. второй член в скобках (6) был порядка 10^{-4} , а вносимая им поправка была значительно меньше ошибок измерения.

Поэтому принималось

$$a = a_B. \quad (7)$$

Измерение разности уровней ртути. Определение $(1 - \varepsilon)$ по разности уровней ртути производили на приборе типа *B* (см. рис. 1), который отличался от прибора *A* только верхней измерительной частью. Пространство над уровнями заполнялось разбавленным раствором ртути в азотной кислоте или силиконовым маслом, в котором помещались стеклянные поплавки, касающиеся уровня ртути. Вся система помещалась в дьюар до головок поплавков так, что изменение комнатной температуры не сказывалось на положении уровня, а следовательно, и поплавков. Наблюдения велись за положением головок поплавков.

Чувствительность системы к температурным колебаниям была значительно снижена благодаря большому сечению измерительных участков и возможности лучшего терmostатирования и составляла -3 ± 15 дел/град или $10^{-3} \pm 10^{-2}$ см/град. Движение уровня (повышение или понижение) под действием электроосмотического давления происходит очень медленно из-за малости последнего, а объем ртути, который должен перетечь до установления равновесия ($\rho_E = h_0 d$), сравнительно велик, следовательно, время перетекания t_B будет значительным (d — удельный вес ртути; h_0 — начальная разность уровней ртути).

Чтобы сократить время одного измерения, мы пользовались следующим приемом вычисления. Если за время $t \ll t_B$ уровень в одном колене сместился на величину X , то можно считать, что перетекание происходило под действием среднего давления $p_{EB} = \frac{\rho_E + \rho_X}{2}$.

Но $p_X = p_E - 2Xd$ и $p_{EB} = p_E - Xd$. Тогда средняя скорость перетекания

$$\begin{aligned} v_{ep} &= v_B \left(\frac{r_B}{r_p} \right)^2 = \frac{X}{t} \left(\frac{r_B}{r_p} \right)^2 = \\ &= \frac{r_B^2}{\alpha \eta L_p} (p_E - Xd). \end{aligned} \quad (8)$$

Трением внутри измерительной трубки пренебрегаем, так как

$$\left(\frac{r_B}{r_p} \right)^2 \approx 10^2.$$

Выражая радиус капилляра через его длину, проводимость и сопротивление ртути в капилляре, получим

$$(1 - \varepsilon) = \frac{\eta L_p c X}{0.1 \alpha k^2 V t} + \frac{\alpha Q L_p X}{0.1 \alpha k^2 V R}, \quad (9)$$

где Q — удельное сопротивление ртути; R — сопротивление капилляра.

РЕЗУЛЬТАТЫ ОПЫТОВ

Определение температуры граничного слоя. Температура ртути в рабочем капилляре определялась как сумма температуры T_t терmostатирующей жидкости, обтекающей капилляр, и перепада температур ΔT_J на стенах рабочего капилляра, возникавшего благодаря выделению ленц-джоулева тепла в рабочем капилляре:

$$T = T_t + \Delta T_J.$$

Предположим, что температура соприкасающихся поверхностей ртути и стеки капилляра одна и та же и равна температуре T ртути в граничном слое (на интересует именно температура граничного слоя), а температура наружной поверхности капилляра равна температуре T_t терmostатирующей жидкости.

Поток тепла q , проходящий через слой толщиной dr внутри стеки капилляра, будет равен

$$q = -\Lambda 2\pi r L_p \frac{dT}{dr} = \frac{V}{R}. \quad (10)$$

Отсюда

$$\Delta T_J = \frac{V^2 \ln \left(\frac{r_0}{r_p} \right)}{2\pi\Lambda L_p R}.$$

Для температуры граничного слоя ртути получим

$$T = T_0 + \frac{V^2 \ln \left(\frac{r_0}{r_p} \right)}{2\pi\Lambda L_p R}, \quad (11)$$

где r_0 и r_p — внешний и внутренний радиусы рабочего капилляра; Λ — теплопроводность стекла.

В условиях проведенных исследований перепад температур на стенках капилляра был от $4 \cdot 10^{-3}$ до 15°C и в тех случаях, когда $\Delta T < 3^\circ\text{C}$, не принимался во внимание.

Выбор величин n и λ . Для вычисления величины $(1 - \varepsilon)$ в формуле (9) вязкость ртути взята из работы [10], а концентрация носителей вычислена из постоянной Холла $R_v = -74,6 \cdot 10^{-5}$ (в единицах CGSM) [11]. Получаемая отсюда величина $n = 8,4 \cdot 10^{22} \text{ см}^{-3}$ очень хорошо совпадает с n_e , вычисленной в предположении, что у ртути имеются два электрона проводимости на атом.

Величину средней длины свободного пробега λ электронов проводимости получим из соотношения

$$q\lambda = 3,6 \cdot 10^{-11} \text{ ам} \cdot \text{см}^2, \quad (12)$$

выведенного экспериментально для твердой ртути [3, 6] при низких температурах. Этим соотношением мы воспользуемся, считая, что в жидкой ртути сохраняется определяющая роль «ближнего порядка» и соотношение (12) остается в силе для жидкой ртути. Тогда

$$\lambda = 3,7 \cdot 10^{-7} \text{ см.}$$

Смещения уровней ΔN_E и ΔM . Эти смещения являются результатирующими смещениями, во-первых, под действием тока $\Delta N_{E_{1,2}}$ и во-вторых, вследствие изменения температуры ртути в приборе $\Delta N_{T_{1,2}}$:

$$\Delta N_{1,2} = \pm \Delta N_{E_{1,2}} \pm \Delta N_{T_{1,2}}, \quad (13)$$

Смещения ΔM и ΔN_E имеют разные знаки в левом и правом коленях прибора, тогда как $\Delta N_{T_{1,2}}$ — одинаковые (правая и левая части прибора находятся в одинако-

вых температурных условиях). Поэтому, взяв разность смещений уровней за время t с учетом знака, мы в некоторой степени исключим влияние температуры на величину X :

$$X = \frac{(\pm \Delta N_{E_1} + \Delta N_{T_2}) - (\pm \Delta N_{E_2} \pm \Delta N_{T_1})}{2} = \pm \frac{\Delta N_{E_1} + \Delta N_{E_2}}{2}. \quad (14)$$

Поскольку смещение одного из уровней в U -образном капилляре происходит под действием малой электроосмотической силы $F_E = p_E S_p$, силы вязкого трения $F_{tr} = -2\pi\eta L_p \dot{X}$ ($\dot{X} = \frac{dx}{dt}$) и силы, возникающей благодаря разности уровней $2X$, радиальной $F_r = 2dXS_p$, уравнение движения уровня будет иметь вид

$$\ddot{X} + 2\beta \dot{X} + \omega^2 X = A, \quad (15)$$

где $\beta = \frac{\eta}{\delta r_p^2}$; $\omega^2 = \frac{2g}{L_p}$; $A = \frac{h_0 g}{L_p}$ (δ — плотность; $h_0 = 2h$ — разность уровней при $p_E = h_0 d$; g — ускорение силы земного тяготения).

Решение уравнения (15) дает апериодические колебания уровня

$$X = h \left\{ 1 - \frac{A}{\omega^2 - \alpha_1^2} \exp \left[\alpha_1 \left(\frac{r_0}{r_p} \right)^2 t \right] \right\}, \quad (16)$$

где $\alpha_{1,2} = \beta \pm V\beta^2 - \omega^2$ — корни характеристического уравнения, соответствующего дифференциальному уравнению (15).

Электрокинетическая подвижность a изменилась на приборах с капиллярами радиусом $r_p = (5 \div 15) \cdot 10^{-3} \text{ см}$ при плотностях тока $10^2 \div 10^3 \text{ а/см}^2$. Среднее значение измерений при $T = 20 \div 30^\circ\text{C}$ равно

$$a = (2,5 \pm 1,2) \cdot 10^{-3} \text{ см}^2/\text{в.сек},$$

что совпадает с результатами Клемма [9], полученными в опытах с диафрагмой из стеклянных шариков. Как следует из теории [8], при учете формулы Пузейля для вязкой жидкости электрокинетическая подвижность

$$a = \frac{c}{E} = \frac{Q}{SE} = \frac{0,1(1-\varepsilon)ra\lambda^2}{\eta} \quad (17)$$

не зависит от размеров и геометрической формы сечения образца и является свойством вещества, зависящим от величин n , λ , η и $(1 - \varepsilon)$.

В результате измерения величины $(1 - \varepsilon)$ по разности уровней получилось для ртути

$$(1 - \varepsilon) = (2.4 \pm 1.4) \cdot 10^{-2}.$$

В то же время, используя электрохимическую подвижность при $n = 8.4 \cdot 10^{22} \text{ см}^{-3}$, $\lambda = 3.7 \cdot 10^{-7} \text{ см}$, $\eta = 1.54 \cdot 10^{-2} \text{ нз}$ получаем

$$(1 - \varepsilon) = \frac{a\eta}{0.1en\lambda^2} \approx 2.1 \cdot 10^{-2}.$$

Как видим, оба способа измерений дают совпадающие результаты.

Обратный электрохимический эффект. Была произведена попытка измерить потенциал переноса. Опыты показали, что электрохимический эффект существует, величина его $\frac{V_p}{P} \approx 10^{-9} \text{ в/мм рт. ст.}$ Обнаружено нагревание перетекающей через капилляр ртути, что вызывает возникновение термоэлектродвижущей силы на контактах ртуть—платина того же порядка, что и V_p . Можно надеяться, что путем повышения чувствительности установки и увеличения объемов металла у электродов или удаления электродов от концов капилляра удастся устранить влияние термоэлектродвижущей силы и измерить потенциал переноса.

ОБСУЖДЕНИЕ РЕЗУЛЬТАТОВ

Как показали результаты экспериментов, электрохимические эффекты в ртути вполне

можно, однако, предположить, что все электроны (вообще, носители тока) имеют диффузное рассеяние на границе раздела ($\varepsilon = 0$), но в слое у стенки толщиной $\sim 3\lambda$ вязкость жидкости существенно повышена, что приводит к снижению электрохимического эффекта. Это предположение весьма правдоподобно, если учесть экспериментальные данные и теоретические соображения [3—7, 12—15].

Поскольку электрохимические эффекты определяются процессами только в граничном слое, то можно приближенно принять, что вязкость η , входящая в формулу электрохимической подвижности (17), является средней для граничного слоя толщиной около 3λ .

Предположение, что вязкость у стенки отлична от вязкости в объеме, можно рассматривать как следствие теории вязкости жидкости [12]. Подвижность частиц ртути в мономолекулярном слое у стенки стеклянного капилляра, как показывает теоретический расчет [14], в 10^4 раз меньше, чем подвижность в объеме, и выражается отношением

$$\frac{\eta_{\text{тр}}}{\eta} \approx \exp \frac{W - W_{\text{тр}}}{kT},$$

где W — поверхностная энергия микрополосы внутри жидкости, появляющаяся в результате перехода частицы из данного положения равновесия в какое-либо другое;

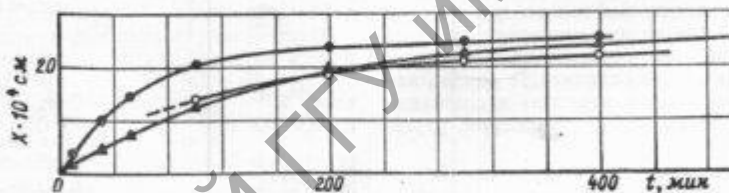


Рис. 3. Смещение уровня в зависимости от времени (прибор B).

не поддаются измерению не только на диафрагмах, имеющих более высокую чувствительность [9], но и на одиночных капиллярах.

Полученные экспериментальные результаты показывают, что при комнатных температурах система ведет себя так, как если бы имела место почти зеркальное отражение от границ электронов и дырок.

$W_{\text{тр}}$ — то же, но в мономолекулярном слое у стенки. Оценка средней вязкости ртути при $\varepsilon = 0$ (при принятых значениях n и λ) дает

$$\eta_{\text{тр}} = \frac{0.1en\lambda^2}{a} = 0.7 \text{ нз}.$$

Следовательно, средняя вязкость ртути непосредственно вблизи границы ртуть—

стекло в слое толщиной около 3λ почти на два порядка больше, чем в объеме.

На рис. 3 сравниваются кривые, построенные по уравнению (16) для вязкости ртути при 20°C в объеме $\eta_0 = 1,5 \cdot 10^{-2}$ пз (●) и $\eta_{cr} = 0,7$ пз (▲), с экспериментальными кривыми (○). Как видно из рисунка, точки экспериментальной кривой ($r_p^2 = 4,7 \cdot 10^{-5}$ см, $L_0 = 42$ см, $h_0 = 48 \cdot 10^{-4}$ см, $V = 8,4$ в) располагаются ближе к кривой со средней вязкостью.

На свойства граничного слоя (смачивание, контактный потенциал, вязкость и пр.)

ЛИТЕРАТУРА

1. J. Tomson. Proc. Camb. Phil. Soc., 11, 429 (1901).
2. K. Fuchs. Proc. Camb. Phil. Soc., 34, 100 (1938).
3. R. Dingle. Proc. Roy. Soc., A291, 545 (1950).
4. R. Chambers. Proc. Roy. Soc., A202, 378 (1950).
5. R. Chambers. Nature, 165, 239 (1950).
6. E. Andrew. Proc. Phys. Soc., A62, 77 (1949).
7. A. R. Regel, B. I. Kaidalov. Изв. техн. физ., 28, 407 (1953).
8. Г. Е. Пикус, В. Б. Фике. «Физика твердого тела», 1, 1062 (1959); В. Б. Фике, Г. Е. Пикус. Там же, 1, 1147 (1959).
9. A. Kleim. Z. Naturforsch. 13а, 1039 (1958).
10. Liquid Metals Handbook, Washington, AEC, 1950.
11. P. Kendall, N. Cusack. Phil. Mag., 6, 419 (1961).
12. И. И. Френкель. Кинетическая теория жидкостей. М.—Л., Изд-во АН СССР, 1945.
13. О. А. Геращенко, М. М. Назарчук. «Б. техн. физ.», XXVII, 12 (1957).
14. Д. М. Толстой. «Докл. АН СССР», LXXXV, № 5, 1039 (1952).
15. Б. В. Деригин, В. В. Каравеев, З. М. Зорин. Строение и физические свойства вещества в жидком состоянии. Изд. Киевского университета им. Т. Г. Шевченко, 1954, стр. 141.

Поступила в Редакцию 15/VIII 1962 г.

РЕПОЗИТОРИЙ ГГУ имени & Скорини